## Darstellung und Kristallstruktur von Rubidiumdicyanoaurat(I), RbAu(CN),

Synthesis and Crystal Structure of Rubidium Dicyanoaurate(I), RbAu(CN)<sub>2</sub>

R. J. Schubert und K.-J. Range\*

Institut für Anorganische Chemie der Universität Regensburg, Universitätsstraße 31, D-8400 Regensburg

Herrn Prof. Dr. Dirk Reinen zum 60. Geburtstag gewidmet

Z. Naturforsch. 45b, 629-634 (1990); eingegangen am 20. November 1989

Rubidium Dicyanoaurate(I), Synthesis, Crystal Structure

Using a modified cyanide process RbAu(CN)<sub>2</sub> was synthesized by the reaction of gold powder with RbOH, O<sub>2</sub> and liquid HCN. The colourless crystals are monoclinic, space group C2/c, with a=18.450(3), b=8.998(2), c=13.418(2) Å,  $\beta=108.0(9)^\circ$  and Z=16. The structure could be solved by Patterson and standard direct methods and refined to R=0.035 and Rw=0.034, respectively, for 857 absorption-corrected unique reflections. The structure comprises layers of linear [Au(CN)<sub>2</sub>]<sup>-</sup> groups, in which gold atoms are arranged in four- and eightmembered rings. The stacking of the layers with a sequence ABAB creates different kinds of holes which are occupied by the rubidium ions.

Über die Kristallstrukturen von Alkalidicyanoauraten und -argentaten ist überraschend wenig bekannt. Eindeutig charakterisiert sind bisher nur Na[Ag(CN)<sub>2</sub>] [1], K<sub>2</sub>Na[Ag(CN)<sub>2</sub>]<sub>3</sub> [2] und Cs<sub>2</sub>Na[Au(CN)<sub>2</sub>]<sub>3</sub> [3]. Die Strukturvorschläge für K[Au(CN)<sub>2</sub>] [4, 5] und K[Ag(CN)<sub>2</sub> [6] bedürfen der Überprüfung. Im Rahmen unserer Untersuchungen über diese Verbindungsklasse berichten wir in der vorliegenden Arbeit über Rb[Au(CN)<sub>2</sub>].

## **Darstellung**

Es ist jetzt 100 Jahre her, seit das Cyanid-Verfahren ("Cyanidlaugerei") zur Gewinnung von Gold bzw. Silber 1888/89 durch R. W. Forrest, W. Forrest und J. S. McArthur patentiert wurde [7]. Dabei werden die Edelmetalle aus den Erzen mit Hilfe von Natrium- oder Kaliumcyanid in Gegenwart von Luft gelöst (Gl. (1)).

$$2 \text{ Au} + 4 \text{ MCN} + 1/2 \text{ O}_2 + \text{H}_2\text{O} \xrightarrow{60-80 \,^{\circ}\text{C}} 2 \text{ M[Au(CN)}_2] + 2 \text{ MOH}$$
 (1)  
(M = Na oder K)

Die Reaktion gelingt nur mit NaCN oder KCN, da die übrigen Alkalicyanide in wässeriger Lösung sehr leicht zu den entsprechenden Hydroxiden hydrolysieren (Gl. (2)).

$$RbCN + H_2O \rightleftharpoons RbOH + HCN$$
 (2)

Wir betrachteten dieses System als Gleichgewichtsreaktion, gaben Blausäure im Überschuß zu und ließen das Cyanid gleichzeitig mit  $Au/O_2$  reagieren. Dabei verschiebt sich das Gleichgewicht in Gl. (2) nach links und begünstigt so die Bildung von  $Rb[Au(CN)_2]$  (Gl. (3)).

$$2 \text{ Au} + 2 \text{ RbOH} + 4 \text{ HCN} + 1/2 \text{ O}_2 \rightleftharpoons$$
  
 $2 \text{ Rb[Au(CN)}_2] + 3 \text{ H}_2\text{O}$  (3)

Dieses "modifizierte Cyanidverfahren", mit dem wir auch Li[Au(CN)<sub>2</sub>] und Cs[Au(CN)<sub>2</sub>] darstellen konnten [8], erfordert einen gewissen apparativen Aufwand. Festes Gold reagiert mit gelöstem Rubidiumhydroxid und gasförmigem Sauerstoff in flüssigem Cyanwasserstoff. Abb. 1 zeigt die hierzu konstruierte Syntheseanlage [8].

Das thermostatisierbare, doppelwandige Reaktorgefäß (Abb. 2) aus Glas (a) kann über einen planparallelen Flansch (h) geöffnet werden und hat einen Inhalt von 50 ml. Über eine im Boden eingelassene Fritte G4 (c) kann der Sauerstoff in kleinen Blasen von unten her durch die Reaktionslösung gedrückt werden. Das Goldpulver wird zusätzlich durch einen Glasrührer (j) in Schwebe gehalten. Blausäure wird direkt in ein auf einen der beiden Reaktorstutzen aufsetzbares Vorratsgefäß (m) überdestilliert und hier bei 0 °C flüssig gehalten. Über einen ebenfalls thermostatisierten Glashahn (o) kann je nach Bedarf Blausäure ins Reaktorinnere gelassen werden.

Zur Darstellung von RbAu(CN)<sub>2</sub> gibt man 2 g Goldpulver bei 0 °C in den Reaktor und versetzt mit 14 ml fraktionierter Blausäure (aus NaCN und

<sup>\*</sup> Sonderdruckanforderungen an Prof. Dr. K.-J. Range. Verlag der Zeitschrift für Naturforschung, D-7400 Tübingen 0932–0776/90/0500–0629/\$01.00/0

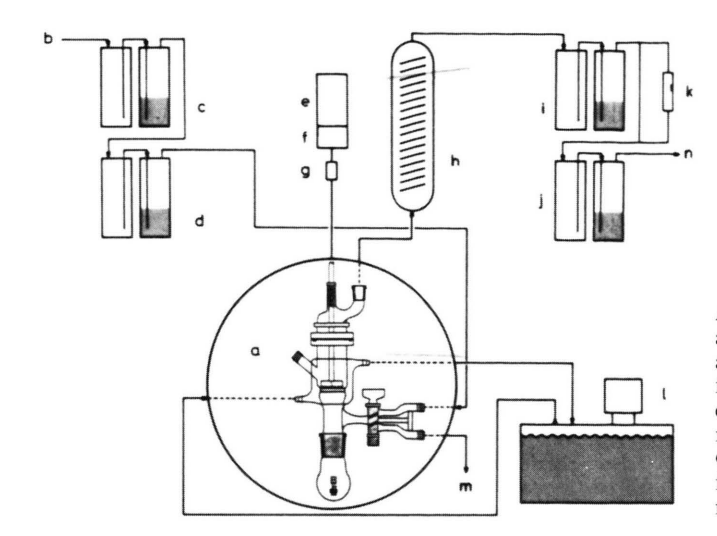


Abb. 1. Schematische Darstellung der Reaktionsapparatur (ohne Vorratsbehälter für HCN). a Reaktionsgefäß aus Glas (Abb. 2); b Sauerstoffzufuhr; c, d Gaswaschflaschen für Sauerstoff; e, f, g Motor, Getriebe und Kupplung für Glasrührer; h Intensivkühler mit Doppelwandung; i, j Gaswaschflaschen für Abluft; k Dräger-Röhrchen für HCN-Detektion; l Thermostat bzw. Kryostat; m Vakuum; n Gasabfuhr zum Abzug.

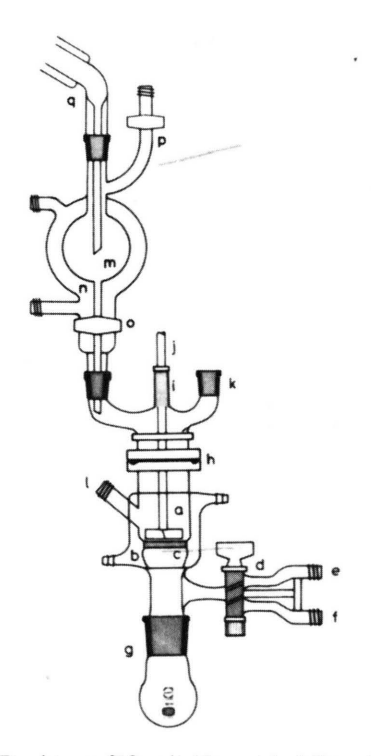


Abb. 2. Reaktorgefäß mit Vorratsbehälter für flüssige Blausäure. Reaktorgefäß aus Glas: a Reaktionsraum für max. 50 ml Reaktionslösung; b Doppelwand zur Thermostatisierung; c Frittenboden (G4); d Zweiwegehahn; e, f Stutzen für Gas bzw. Vakuum; g 50-ml-Kolben (NS27); h Flansch mit 0-Ring als Dichtung; i Tefloneinsatz mit Teflonband umwickelt zum Dichten des Rührerstutzens; j Glasrührer; k Stutzen (NS14) zum Intensivkühler; l Stutzen mit Schraubgewinde für Innenthermometer, Serpa o. ä.

H<sub>2</sub>SO<sub>4</sub> [9]). Man beginnt Sauerstoff zu blasen und versetzt über ein Serpa (1) mit entsprechender Menge an 50-proz. RbOH-Lösung. Die Reaktion setzt sofort ein und ist nach 2 Stunden beendet. Zum Entfernen der überschüssigen Blausäure heizt man kurz auf 30 °C und zieht die Reaktionslösung durch die Fritte in die eisgekühlte Vorlage. Nach dem Umkristallisieren aus Wasser ergibt sich eine Reinausbeute von 85%.

Analyse:

Ber. Rb 25,55 Au 58,89 C 7,18 N 8,31, Gef. Rb 27,34 Au 59,91 C 7,19 N 8,21.

## Strukturanalyse

Mit Hilfe einer computergesteuerten Kristallisationsanlage nach der Methode der Temperaturabsenkung [8] erhielten wir klare, für die Röntgenstrukturanalyse geeignete Kristalle von ca. 150×30×30 μm Größe. Aus Weissenbergaufnahmen konnte die Laueklasse 2/m abgeleitet werden, die beobachteten Auslöschungen  $h+l\neq 2n$  für hklund  $l \neq 2n$  für h0l führten zu den möglichen monoklinen Raumgruppen Cc und C2/c. Die Sammlung der Reflexintensitäten erfolgte an einem Enraf-Nonius-CAD4-Diffraktometer (Graphitmonochromator, MoKa-Strahlung,  $0,71073 \text{ Å}, \text{ T} = 23 \,^{\circ}\text{C}$ ). Die aus Guinierdaten durch eine Kleinste-Quadrate-Verfeinerung erhaltenen Gitterkonstanten konnten am Vierkreisdiffraktometer bestätigt werden. Insgesamt wurden 1436 Reflexe registriert [2° $<\theta$ <21°;  $\omega$ /2 $\theta$ -scan-Technik; scan-Breite  $(0.8 + 0.34 \tan \theta)^{\circ}$ ], von de-

Raumgruppe	C2/c (Nr. 15)
Gitterkonstanten	
a [Å]	18,450(3)
b [Å]	8,998(2)
c [Å]	13,418(2)
$\beta$ [°]	108,0(9)
Volumen der EZ [Å <sup>3</sup> ]	2118,5
Formeleinheiten/EZ	16
Dichte <sub>ront</sub> $[g \cdot cm^{-3}]$	4,19
Kristallgröße [µm]	$150 \times 30 \times 30$
Diffraktometer	Enraf-Nonius CAD4
Strahlung, Monochromator	$MoKa$ ( $\lambda = 0.71073$ Å), Graphit
Meßgeometrie	$\omega/2\theta$ -scan
Abtastwinkel [°]	$(0.8 + 0.34 \tan \theta)$
$(\sin \theta/\lambda)_{\max} [\mathring{A}^{-1}]$	0,504
hkl-Grenzen	-19 < h < 17, -1 < k < 10, -1 < l < 14
Intensitätsverlust	-0.2%
Gemessene Reflexe	1436
Beobachtete Reflexe $[I > 1\sigma(I)]$	1147
Unabhängige Reflexe [F>3 $\sigma$ (F)], $R_{int}$	857, 0,024
Absorptionskoeffizient [cm <sup>-1</sup> ]	381,9
Absorptionskorrektur	DIFABS
Variable, $(\Delta/\sigma)_{\text{max}}$	70, 0,003
$R, R_{\cdots}$	0,035, 0,034
$(\Delta\varrho)_{\text{max}}^{\text{w}} [\text{eÅ}^{-3}]$	+1,1, -2,1

Tab. I. Kristallographische Daten und Daten zur Strukturanalyse von RbAu(CN)<sub>2</sub>. (Standardabweichungen der letzten Stelle sind wie in allen Tabellen in Klammern angegeben.)

nen 1147 als beobachtet (I>1 $\sigma$ (I)) angesehen wurden (sin  $\theta_{\rm max}/\lambda=0.5042~{\rm \AA}^{-1}, -19< h<17, -1< k<10, -1< l<14$ ). Die Datenreduktion ergab 857 unabhängige Reflexe mit F>3 $\sigma$ (F) ( $R_{\rm int}=0.0245$ ).

Die Struktur konnte in der zentrosymmetrischen Raumgruppe C2/c gelöst werden. Die Lagen der Gold- und Rubidiumatome wurden mit Patterson- und Direkten Methoden gefunden (Programm SHELXS-86 [11]). Alle weiteren Atomlagen konnten mittels Fourier- und Differenzfouriersynthesen abgeleitet werden (Programm SHELX-76 [12]). Die anschließende Verfeinerung der Atomkoordinaten und isotropen Temperaturfaktoren konvergierte nach einigen Zyklen bei  $R_{\rm w} = 0.088$ . An dieser Stelle wurde eine numerische Absorptionskorrektur gerechnet (Programm DIFABS [13]). Nach der endgültigen, gleichzeitigen Verfeinerung aller Parameter (anisotrop für Gold und Rubidium) resultierten ohne Korrelationen R = 0.035 und  $R_w = 0.034$ . Einzelheiten zur Strukturanalyse können der Tab. I entnommen werden. Die Atomformfaktoren, sowie f'- und f"-Werte wurden den International Tables for X-ray Crystallography [14] entnommen. Bindungslängen und -winkel wurden mit dem Programm SADIAN [15] berechnet. Wichtige Kristallstrukturdaten sind in Tab. II und III zusammengestellt\*.

Tab. II. Ortsparameter und isotrope Temperaturfaktoren  $[\mathring{A}^2]$  von  $RbAu(CN)_2^*$ .

Atom	x/a	y/b	z/c	$\mathbf{R}_{eq}/\mathbf{R}_{iso}$
Au l	0,5	0,5997(2)	0,75	2,62(4)
Au2	0,0	0,4878(2)	0,75	2,74(4)
Au3	0.0190(1)	0,8482(1)	0,5773(1)	2,84(4)
Rb1	0,3291(2)	0,1000(3)	0.0229(2)	2,70(8)
Rb2	0,2493(1)	0,7588(3)	0,1828(2)	2,89(8)
N11	0,176(1)	0.886(2)	0.350(2)	3,1(5)
N 21	0.355(1)	0.998(2)	0.319(2)	3,2(5)
N31	0.189(1)	0.078(2)	0.103(2)	2,7(5)
N 32	0.854(1)	0.280(2)	0.050(2)	3,5(5)
C11	0.888(1)	0.105(3)	0,689(2)	2,0(5)
C21	0.407(1)	0.005(2)	0.284(2)	2,3(5)
C31	0.124(1)	0.099(3)	0.091(2)	2,2(5)
C 32	0,910(2)	0,226(3)	0,057(2)	3,3(5)

<sup>\*</sup> Der äquivalente isotrope Temperaturfaktor  $B_{eq}$  für Au und Rb ist definiert als  $B_{eq} = 4/3 \sum_i \sum_j \beta_{ij} a_i \cdot a_j$ .

<sup>\*</sup> Weitere Einzelheiten zur Kristallstrukturbestimmung können beim Fachinformationszentrum Karlsruhe, D-7514 Eggenstein-Leopoldshafen 2, unter Angabe der Hinterlegungsnummer CSD 54404, der Autoren und des Zeitschriftenzitats angefordert werden.

Au-Koordination und Anion						
Au(1)-Au(3) (2×) Au(1)-Au(2) Au(2)-Au(3) (2×) Au(3)-Au(3)	3,492(3) 4,063(2)	C(11)-N(11) C(21)-N(21) C(31)-N(31) C(32)-N(32)	1,13(2) 1,18(2) 1,16(2) 1,12(2)			
$\begin{array}{l} Au(1) - Rb(1)  (2 \times) \\ Au(1) - Rb(2)  (2 \times) \\ Au(2) - Rb(1)  (2 \times) \\ Au(2) - Rb(2)  (2 \times) \\ Au(3) - Rb(1) \\ Au(3) - Rb(2) \end{array}$	5,114(1)	C(11)-Au(1)-C(11) C(21)-Au(2)-C(21) C(31)-Au(3)-C(32)	177,5(9) 175,9(9) 174,7(9)			
Au(1)-C(11) Au(2)-C(21) Au(3)-C(31) Au(3)-C(32)	1,98(2) 1,91(2) 1,96(2) 2,06(2)	$\begin{array}{l} N(11) - C(11) - Au(1) \\ N(21) - C(21) - Au(2) \\ N(31) - C(31) - Au(3) \\ N(32) - C(32) - Au(3) \end{array}$	176(2) 171(2) 175(2) 172(2)			
Rb(1)-Koordination	1	Rb(2)-Koordination				
Rb(1)-N(32) Rb(1)-N(21) Rb(1)-N(11) Rb(1)-N(31) Rb(1)-N(11') Rb(1)-N(31') Rb(1)-N(21')	2,92(2) 3,05(2) 3,05(2) 3,10(1) 3,11(2) 3,32(2) 3,96(2)	Rb(2)-N(32') Rb(2)-N(21) Rb(2)-N(21') Rb(2)-N(32) Rb(2)-N(31) Rb(2)-N(11) Rb(2)-N(31') Rb(2)-N(11')	3,00(2) 3,03(2) 3,10(2) 3,14(1) 3,15(1) 3,17(2) 3,20(2) 3,70(2)			

Tab. III. Wichtige Atomabstände [Å] und Winkel [°] in RbAu(CN)<sub>2</sub>.

## Diskussion

RbAu(CN), besitzt wie alle Alkalidicyanoaurate eine Schichtstruktur. Der Au-Au-Schichtabstand beträgt 8,77 Å. Die Au(CN)<sub>2</sub>-Anionen gebaut  $(\langle C-Au-C \rangle$ linear (Au-C-N) 173,5°) und bilden Schichten mit leicht gewellten Vier- und Achtringen aus Goldatomen (Abb. 3) und einer Schichtabfolge ABAB in Richtung der a-Achse (Abb. 4). Eine ähnliche Anordnung der Hanteln findet man Ca[Ag(CN)<sub>2</sub>]<sub>2</sub>·2 H<sub>2</sub>O und der analogen Strontium-Verbindung [16] mit Schichten aus Drei- und Achtringen. Der kürzeste Gold-Gold-Abstand ist mit 3,33 Å deutlich geringer als beim KAu(CN)<sub>2</sub> (3,65 Å) [5]. Drei [Au(CN)<sub>2</sub>]-Stäbchen sind innerhalb eines Vierrings zyklisch-gleichgerichtet zur Normalen der b,c-Ebene verkippt (Kippwinkel 35°, 17°, 17°). Das vierte Stäbchen steht nahezu senkrecht zur Schicht (Kippwinkel 6°). Durch die gleichzeitige Verschiebung der darüber liegenden (identischen) Schicht um b/2 entstehen dabei Lükken unterschiedlicher Koordinationen für die Kationen. Rb(1) rutscht in eine Hantelschicht und sitzt in der Fläche eines annähernd planaren Fünfrings aus N-Atomen. Zusätzlich wird es noch von

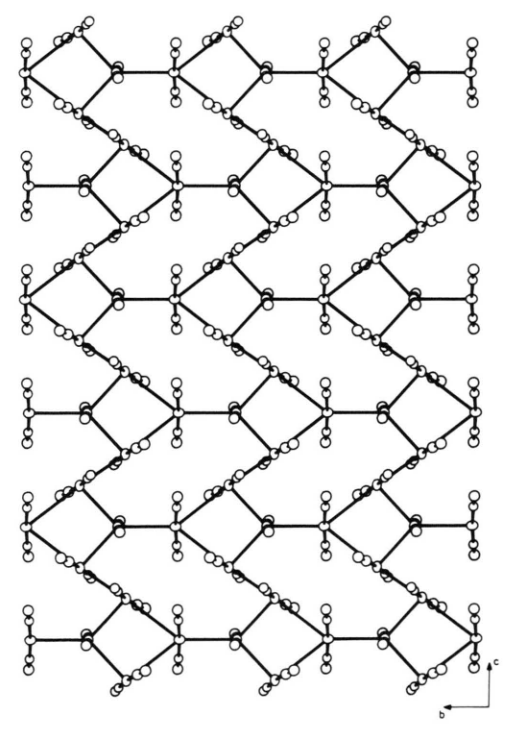
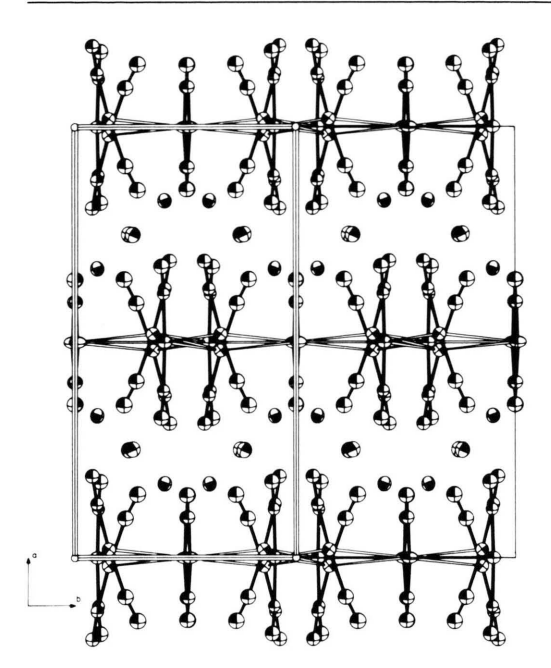


Abb. 3. Leicht gewellte Vier- und Achtringe aus [Au(CN)<sub>2</sub>]<sup>-</sup>-Hanteln in Rb[Au(CN)<sub>2</sub>]. Blickrichtung [100]. Rb<sup>+</sup>-Ionen sind nicht abgebildet.



zwei weiteren N-Atomen der nächsten Schicht koordiniert (Abb. 5). Wie aus Tab. III zu entnehmen ist, ist der Abstand zu einem Stickstoffatom bereits so groß, daß nur von einer [6+1]-Koordination gesprochen werden kann. Ähnliches gilt auch für Rb(2). Es sitzt zwischen den Schichten im Zentrum eines verzerrten quadratischen Antiprismas aus N-Atomen mit KZ [7+1] (Abb. 5).

Herrn Dr. U. Klement danken wir für die Sammlung der Diffraktometerdaten. Der Fonds der Chemischen Industrie und die Degussa AG förderten unsere Arbeiten durch eine Forschungsbeihilfe.

Abb. 4. Zwei Elementarzellen von Rb[Au(CN)<sub>2</sub>] mit Au-Au-Koordination und Au-C-N-Bindungen. Blickrichtung [001]. Deutlich erkennbar ist die Stapelung der Hantelschichten entlang [100].

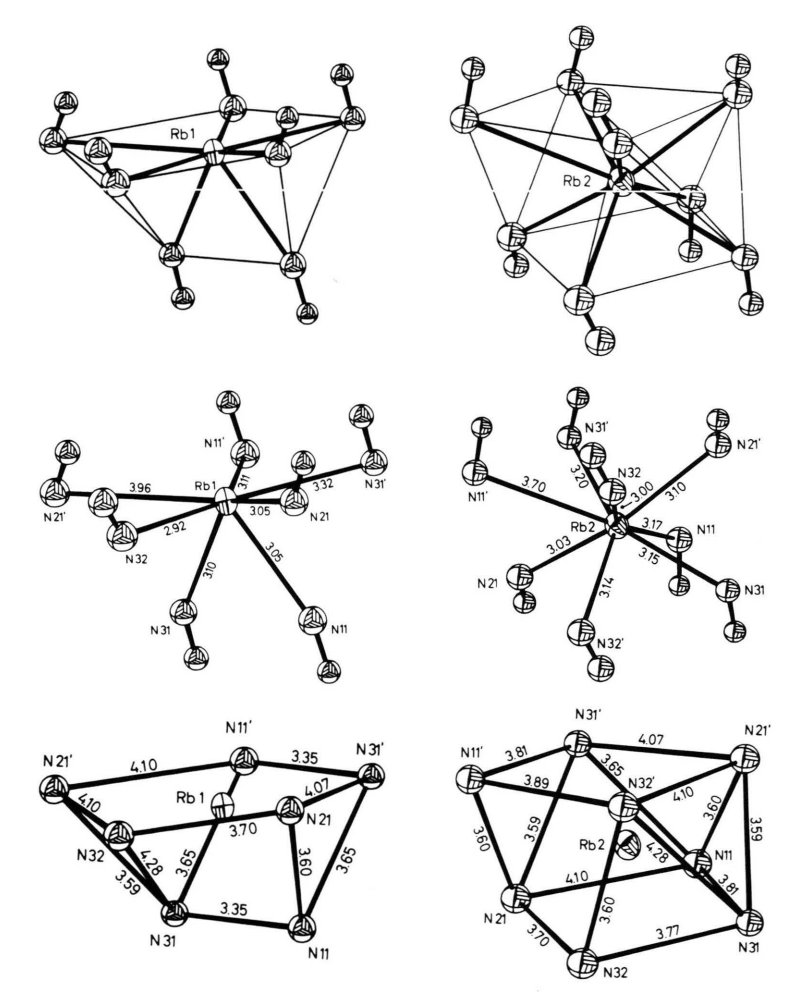


Abb. 5. Koordination von Rb1 und Rb2. a) Koordinationspolyeder, b) Rb-N-Abstände, c) N-N-Abstände.

- [1] K.-J. Range, S. Kühnel und M. Zabel, Acta Crystallogr. **C45**, 1419 (1989).
- [2] M. Zabel, S. Kühnel und K.-J. Range, Acta Crystallogr. C45, im Druck (1989).
- [3] N. Blom, A. Ludi und H.-B. Bürgi, Acta Crystallogr. C40, 1770 (1984).
- [4] A. Rosenzweig und D. T. Cromer, Acta Crystallogr. **B12**, 705 (1959).
- [5] E. Staritzky, Anal. Chem. 28, 419 (1956).
- [6] J. L. Hoard, Z. Kristallogr. 84, 231 (1933).
- [7] R. W. Forrest, W. Forrest und J. S. McArthur, Brit. Pat. 10233/1888 (1888/89).
- [8] R. J. Schubert, Dissertation, Univ. Regensburg (1989).
- [9] G. Brauer, Handbuch der präparativen anorganischen Chemie, 2. Aufl., Band 1, S. 584, Enke, Stuttgart (1982).

- [10] Auf die Wiedergabe von d-Wert-Tabellen wird aus Platzgründen verzichtet. Sie werden bei JCPDS hinterlegt und können auch bei den Autoren (K.-J. R.) angefordert werden.
- [11] G. M. Sheldrick, SHELXS-86, Univ. Göttingen (1986).
- [12] G. M. Sheldrick, SHELX-76, Program for crystal structure determination, Univ. of Cambridge (1976).
- [13] N. Walker und D. Stuart, Acta Crystallogr. A39, 159 (1983).
- [14] International Tables for Crystallography, Vol. IV, The Kynoch Press, Birmingham (1974).
- [15] W. H. Baur und G. Wenninger, SADIAN. A program for calculation of atomic distances and angles in crystal structures. Univ. of Illinois, Chicago (1969).
- [16] K.-J. Range, M. Zabel, H. Meyer und H. Fischer, Z. Naturforsch. 40b, 1618 (1985).